

反應染色絹의 Methacrylamide graft 重合

李 仁 銓·李 東 秀*

경북대학교 전설유학과, *한국전직연구원

Methacrylamide graft polymerization
on silk fibroin dyed with reactive dyestuffs

In Jeon RHEE · Dong Soo LEE*

Dept. of Silk Fiber Science, Kyungpook National University

*Korea Silk Research Institute

Abstracts

Fixation rate of reactive dyes on silk fibroin showed the same tendency to absorption rate. Fixation rate of Yellow 179 and Blue 71 was quite slow and Black 5, Blue 49, Blue 4, Blue 19 and Blue 21 was relatively fast.

Weight increase by MAA graft polymerization onto silk fibroin was decreased, on the whole, according to the increase of dye fixation, but weight increase of silk fibroin dyed with Blue 71 and Blue 21 was much higher than that of silk fibroin. And weight increase of silk fibroin dyed with Yellow 179 was similar to that of silk fibroin and in case of Blue 19, weight increase was about 12%, constantly.

Weight increase of silk fibroin dyed with Blue 71 and Blue 21 was higher and the others were lower than of silk fibroin. And weight increase was diminished according as the dyeing temperature rises.

The color was a little changed by MAA graft polymerization.

緒 論

絹纖維의 graft 重合은 單一 重合體인 絹纖維에 異種 高分子를 共重合시키는 것으로서,

纖維 表面에 急激한 反應이 일어나게 되므로
觸感이 나빠지는 등 絹의 缺點 改善, 實用的
性能의 附與라는 원래의 目的과는 다르게 增
量加工의 한 가지 방법으로 이용되고 있다. 따

라서 絹纖維의 graft 重合은 絹의 長點을 해치지 않는 範圍 내에서 重量 및 volume感의 增大를 貼하는 것으로 organic weighting이라고 부르기도 한다.^{1,2)}

絹의 graft 重合에는 vinyl계 單量體(monomer)를 이용하게 되는데, 높은 重合效率을 나타내는 單量體는 30여종에 이르지만 實用化에 成功한 單量體는 methylmethacrylate(MMA), styrene(St.), 2 - hydroxymethacrylate(2 - MEMA), methacrylamide(MAA) 等의 몇 種類에 不過하다.^{1,3)}

MAA는 acrylamide계 單量體로서 그 溶液은 약 50°C 以下에서는 安定한 것으로 알려져 있으며, 溶存 酸素에 의하여 重合이 抑制되고 pH에 큰 영향을 받게 되며, 重合反應은 過酸化物(peroxides), azo 化合物(azo compound), redox 觸媒(redox pairs) 및 光化學的 刺戟(protochemical systems)에 의하여 開始된다.⁴⁾ 重合開始劑로 가장 널리 사용되고 있는 過黃酸鹽의 一種인 KPS(potassium persulfate)는 空氣 中의 酸素를 吸收하여 分解하면서 黃酸 radical을 형성한다.⁵⁾

塙田等⁶⁾은 MAA graft 重合 絹의 X선 回折에서 加工率 40% 이상이 되면 MAA 重合體의 回折像에 의해 絹의 回折像이 mask된다고 하고, MAA graft 重合時 非結晶領域에 물(H₂O) 및 MAA 單量體가 침입하여 graft 重合이 일어난다고 하였으며, MAA 單量體는 試料 全體에서 均一하게 충진되는 데, 그 충진 장소로는 空隙(void), fibril 間隙, microfibril 間隙 등의 구조가 비교적 繖密하지 않은 領域이라 하였다. 한편, 石黑等^{7,8,9)}은 St. graft 重合에 있어서 St.은 fibril에 충진되는 重合體의 量的 증가에 따라 fibril의 直徑이 커져서 纖維 斷面積이擴大된다고 하였으며 가공율 55% 미만에서는 絹 fibroin과의 결합이 主體가 되는 graft 反應이 일어나지만 가공율 55% 이상에서는 纖維表面을 被覆하는 形態의 styrene 重合體가 積

層된다고 하였다.

한편, graft 重合 絹의 加工與否를 判定하고자 하는 試圖로서 生稻等¹⁰⁾은 鹽酸, 長峯等¹¹⁾은 차아염소산나트륨으로 絹을 溶解하고 남은 殘渣를 重量法으로 調査하였으며, 今丸等¹²⁾은 KBr法에 의해 赤外線吸收 spectrum을 測定하는 方法을 報告한 바 있으나, 이러한 方법으로 檢出感度가 낮은 관계로 石黑^{13,14)}은 graft 重合 絹을 濕熱處理를 행함으로써 그 感度를 向上하였는데, HEMA 重合體의 赤外線領域에 있어서의 spectrum은 絹과 매우 類似함에도 불구하고 濕熱處理를 함으로써 1730cm⁻¹의 peak를 確認하였다고 報告하였다. 또, MAA graft 重合 絹 fibroin의 吸收 spectrum은 MAA 重合體로 인하여 1205cm⁻¹의 吸收帶가 나타나는데, 이것은 脂肪族 C-N 伸縮, ester의 C-O 伸縮, C-C伸縮 및 第4級 炭素의 骨格振動 等에 의한 것으로 생각된다고 하였다. 그리고, 李等¹⁵⁾은 MAA graft 重合 絹의 吸收 spectrum을 檢討하여 未加工 絹에서는 나타나지 않는 1385, 1210, 1125cm⁻¹의 吸收帶가 나타난다고 하였고, 이 중 1385와 1210cm⁻¹의 吸收는 MAA와 絹 fibroin의 結合에 의한 것이라 하였다.

한편, 今丸等^{12,16)}은 graft 重合 絹의 아미노酸 分析을 試圖하고, 絹纖維의 構成 아미노酸中 hydroxyl group을 保有하고 있는 Tyr, 및 Ser.이 graft 重合에 關與한다고 하였으며, polymethylmethacrylate(PMMA)는 絹纖維의 表面에 附着되어 있는 것이 아니라 化學的 反應에 의하여 結合하고 있다고 하였다. 또, 樓本等¹⁷⁾은 放射線 MMA graft 重合 絹의 아미노酸 分析結果 Gly.이 絹纖維의 graft 重合에 關與하고 있다고 하였다.

辛等¹⁸⁾은 MAA graft 重合 絹纖維를 機器分析을 통하여 分析하고, DSC나 IR spectroscopy로는 重合機構를 究明할 수 없었으며, 아미노酸 分析結果 graft 重合에 따른 特定 아민酸

의含量은 변화하지 않으므로特定아미노酸이選擇的으로 graft重合에關與하지는 않는다고하고, 絹纖維의 graft重合은化學的結合에의한것이아니고 단순한纖維內重合인것으로推定하였다.

反應染料는 대체로反應基와纖維와의反應機構,反應性의크기에따라分類된다.¹⁹⁻²²⁾反應機構에따라서親核性置換反應(nucleophilic substitution reaction)형,親核性附加反應(nucleophilic addition reaction)형反應染料로分類되며,反應性的크기에따라서는高反應性(cold type),低反應性(hot type),中反應性反應染料로구분되는데,高反應性反應染料로는dichlorotriazine계,中反應性反應染料는vinyl sulfone계,低反應性反應染料는monochlorotiazine계反應染料가그대표적인反應染料이다.또,反應基의종류에따라20여종이상으로分類되기도한다.

絹과反應染料間의染着機構는,酸性染浴에서는靜電氣的結合에의하여,中性~弱 알칼리性染浴에서는共有結合에의한染着이일어난다.^{19, 20, 23-25)}

清水^{26, 27)}는fibroin과C.I.Reactive Blue 19의反應에 대하여詳細히報告하였다.絹fibroin과反應染料間의反應에관여하는amino acid는pH 4에서는His. Arg. Iso., pH 7에서는Lys. His. Arg. Asp. Ser. Glu. Gly., Ala. Val. Iso. Leu. Tyr., pH 10에서는Lys. His. Arg. Asp. Ser. Gly. Val. Ala. Iso. Leu. Tyr.이關與한다고하고,특히,Lys. His.과의反應이重要하다고하였으며,Thr.의alcohol性蔥酸基와染料間의反應은거의일어나지않고,Val. Iso. Leu.은末端amino acid의일부로써反應한다고하였다.또,Arg.과같은強鹽基性amino acid는親核性이強하므로染料와의反應이용이하다고하였으며,milk casein-acylonitrile共重合纖維의試驗을통하여Lys. His.의反應役割을確認하였다.

한편李等²⁸⁾은graft重合加工의不均一로인하여發生되는染斑등으로인한織物의品質低下를防止하기위한한가지方案으로反應染色絹纖維의graft重合을試圖하고,graft重合에따른反應染色絹纖維의色相變化는觀察되지않았으며,染料의種類에따라graft重合이不可能하거나오히려graft效率이增加하는境遇가있다고報告하고,漂白再染用絹絲의graft重合時에는이러한점을깊이考慮하여야한다고하였다.

以上에서살펴본바와같이重合機構를비롯한重合部位,그特性등graft重合에관한研究報告는매우多樣하지만,反應染色絹纖維의graft重合에관한報告는거의全無한實情이며,graft site에관한解明도不充分한狀態이므로,本研究에서는反應染色絹纖維의graft重合舉動을反應染料別로調查하고,아울러反應染料의染着座席과graft site의相關關係를檢討하였다.

材料 및 方法

1. 材料

1) 試料

21中/2合의生絲(800S/650Z)를精練한것을使用하였다.

2) 染料 및 試藥

가. 染料

本試驗에 사용된反應性染料는Table 1과같다.

나. 試藥

MAA, potassium persulfate, pyridine, sodium sulfate, sodium carbonate, sodium bicarbonate等은試藥1級品을그대로使用하였으며,未固着染料의抽出에는A-900(京成化學)을使用하였다.

Table 1. Reactive dyes²⁹⁾

Commercial name	C. I Number	Chromogen	Constitution N.
		Reactive group	
Apolloction Yellow H-E4G	Yellow 179	mono-azo	25830
		MCT	
Procion Red MX-5B	Red 2	mono-azo	18200
		DCT	
Apollozol Black B	Balck 5	dis-azo	20505
		VS	
Procion Blue P-5R	Blue 13	mono-azo	copper complex
		MCT	
Rifacion Blue P-3R	Blue 49	anthraquinone	...
		MCT	
Procion Blue MX-R	Blue 4	anthraquinone	61205
		DCT	
Remazol Bril. Blue R	Blue 19	anthraquinone	61200
		VS	
Procion Rubine MX-B	Red 6	anthraquinone	17965
		DCT	
Apollucion Turq. Blue H-A	Blue 71	phthalocyanine	...
		MCT	
Apollozoi Turq. Blue G	Blue 21	phthalocyanine	copper complex
		VS	

2. 實驗方法

1) 精練

生絲을 marseilles soap 20% o. w. f., monogen 4% o. w. f., sodium silicate 3% o. w. f., 溶比 1:50의 水溶液으로 95℃에서 1.5時間 동안 精練하고, 50~60℃의 sodium carbonate 1% 및 0.5% o. w. f. 水溶液에 浸漬한 후 충분히 水洗, 乾燥하였다.

2) 染料의 精製

本 試驗에 사용된 染料는 市販品을 精製하지 않고 그대로 사용하였다.

3) 染色 絹 fibroin의 製造

가. 染色

染浴의 pH는 Buffer(0.2M sodium carbonate:

0.2M sodium bicarbonate)를 사용하여 9.5로 조절하였으며, Glauber's salt의 濃度는 50g/l로 하고, 染色速度 및 平衡染色의 方法에 의하여 染着量이 서로 다른 染色 絹 fibroin을 調製하였다.

나. 檢量線의 作成

25% pyridine 溶液(V/V)으로 染浴의 濃度와 吸光度間의 直線性을 確認하고 檢量線을 作成하였다.

다. 吸着染料量의 算出

吸着染料量은 殘液比色法에 의하여 算出하였다.

라. 未固着 染料量의 算出

染色 享 水洗 乾燥한 試料를 AP-900 2g/l

水溶液으로 90°C에서 1시간抽出하고, 동일한 조작을 2~3회 반복하여 더 이상染料가抽出되지 않음을 확인한 후,抽出液의吸光度를測定하여未固着染料量을算出하였다.

마. 固着染料의 算出

吸着染料量과未固着染料量의差를 固着染料量으로하였다.

4) Graft重合

染着量이 서로 다른染色絹fibroin을 다음과같이graft重合하였다.

單量體는MAA를 사용하였으며,重合開始劑는KPS를 사용하였다.重合浴의pH는sodiumacetatebuffer를 사용하여3.8로조절하였으며,

$$\text{증량率(%)} = \frac{\text{soaping後試料의無水量} - \text{原試料의無水量}}{\text{原試料의無水量}} \times 100$$

5) 色相의 测定

ChromameterCR-200(Minolta)을 사용하여 측정하였다.

結果 및 考察

本試驗에서는染着量이 서로 다른反應染色絹fibroin을製造하기 위하여70°C에서의染色速度와50, 70, 90°C에서의平衡染色을 실시하고, 그 결과 만들어진染色絹fibroin을 graft重合用試料로 사용하였다.

Fig. 1은Yellow 179, Red 2, Black 5, Blue 13, Blue 49로1시간~16시간染色한試料의染料固着量을 나타낸그림이며, Fig. 2는Blue 4, Blue 19, Red 6, Blue 71, Blue 21로1시간~16시간染色한試料의染料固着量을 나타낸것으로써,固着速度는Yellow 179 및 Blue 71이 가장낮았으며Black 5, Blue 49, Blue 4, Blue 19, Blue 21은비교적빠른것으로나타났다.또, 이러한경향은吸着速度와도일치하는것으로觀察되었다.

Fig. 3은각종染料로染色한후graft重合

homopolymer의除去에는marseilles soap를 사용하였다.또MAA濃度는50%o.w.f., KPS濃度는2%o.w.f.,浴比는1:20, graft重合溫度및時間은90°C, 1시간의조건으로처리하였다.

가. Homopolymer의 除去

Graft重合試料를marseilles soap5g/l.浴比1:80의조건으로90°C에서20분간soaping하고, 충분히水洗하여homopolymer를除去하였다.

나. 增量率의 算出

Graft重合絹fibroin의增量率은graft重合前後의無水量을基準으로 다음式에의하여 算出하였다.

을실시하여染色時間에따른染料固着量과增量率의關係를散布度로나타낸것으로써, 이때未染色絹fibroin(無處理絹fibroin)의增量率은29.5%였다. 대체로染着量의증가에따라增量率은감소하는경향으로나타났으며,無處理絹fibroin에비하여낮은增量率을나타내었으나,Blue 71 및 Blue 21은染着量의多少에관계없이增量率이매우높은것으로나타났다.

染着量이증가할수록增量率이감소한다는결과는,pH10에서絹fibroin과反應染料간의反應에는Lys. His. Arg. Asp. Ser. Giy. Val. Ala. Iso. Leu. Tyr.등의아미노酸이관여하며,Thr.의alcohol性phenol基및Tyr.의phenol性phenol基와染料間의反應은거의일어나지않고,Arg.과같은強鹽基性amino acid는親核性이강하므로染料와의反應이容易하다고한淸水^{26,27)}의報告와,絹纖維의構成amino acid中hydroxyl group을保有하고있어反應染料의染着座席이되는Tyr.및Ser.이graft重合에관여한다는今丸謙^{12,16)}의報告를勘案할때,graft重合部位(site)는反應染料의染着座席

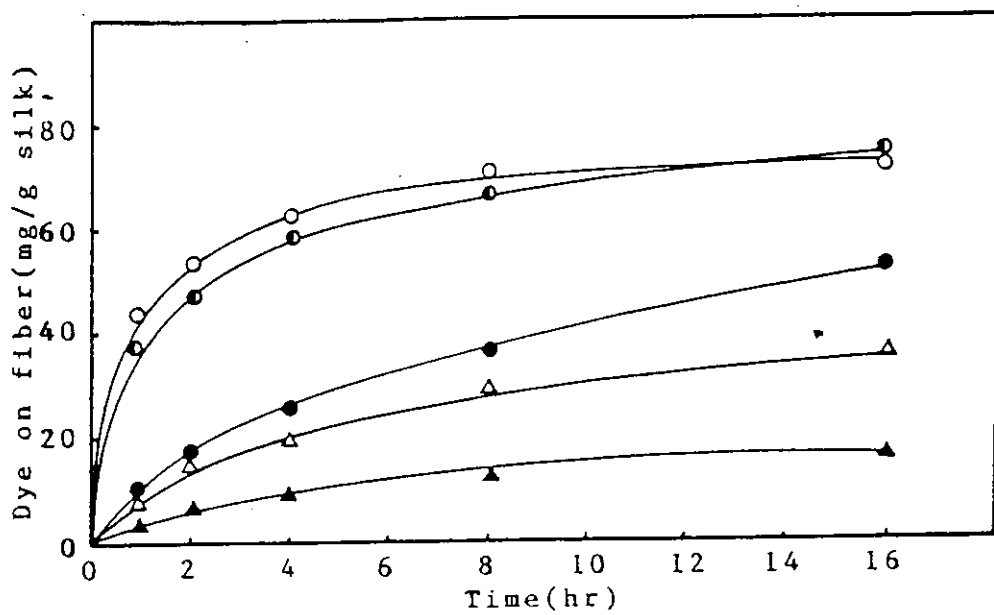


Fig. 1. Rate of fixation of various dyes at 70°C
 ▲:Yellow 179 ●:Red 2 ○:Black 5 △:Blue 13 ●:Blue 49

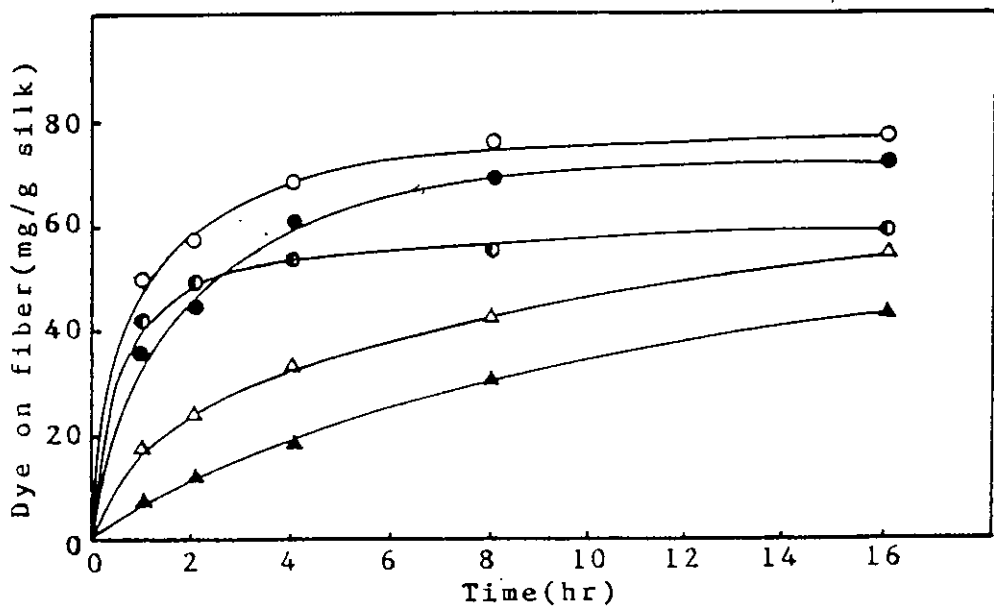


Fig. 2. Rate of fixation of various dyes at 70°C
 ●:Blue 4 ○:Blue 19 △:Red 6 ▲:Blue 71 ●:Blue 21

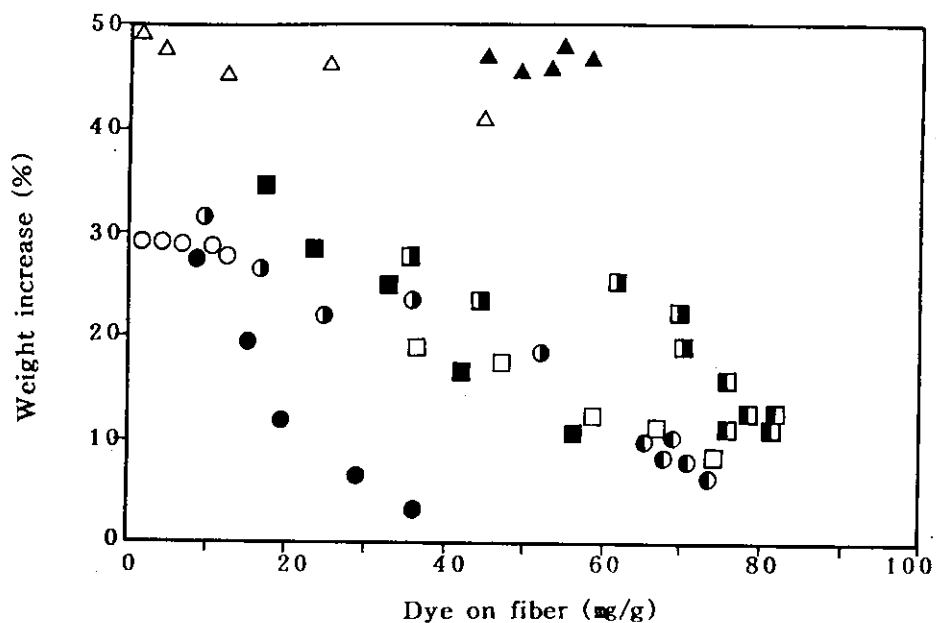


Fig. 3. Distribution of weight increase and fixation rate.

○ Yellow 179	○ Red 2	○ Black 5	● Blue 13	□ Blue 49
■ Blue 4	■ Blue 19	■ Red 6	△ Blue 71	▲ Blue 21

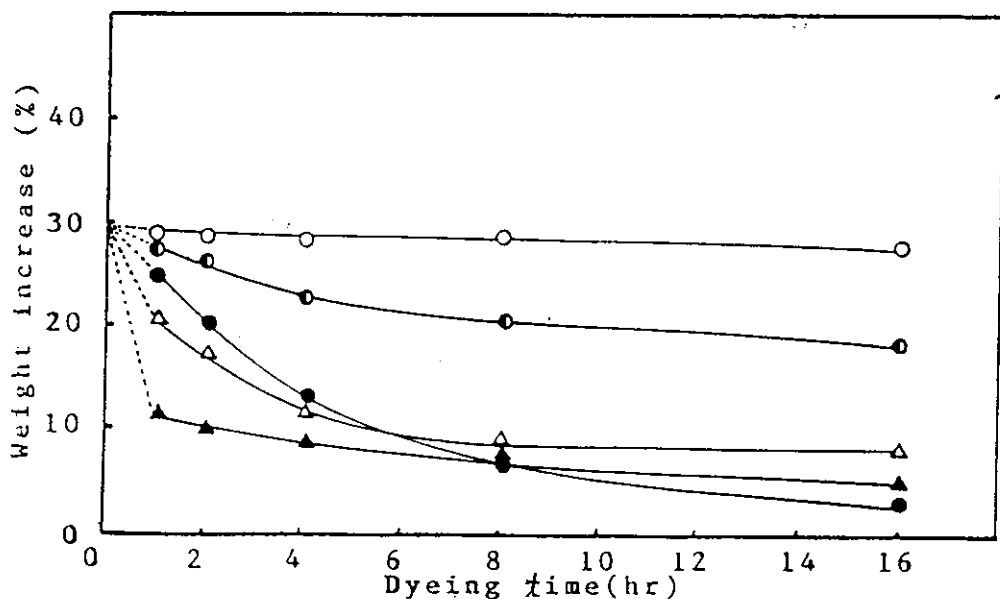


Fig. 4. The effect of dyeing time on weight increase.

○ :Yellow 179	○ :Red 2	▲ :Black 5	● :Blue 13	△ :Blue 49
---------------	----------	------------	------------	------------

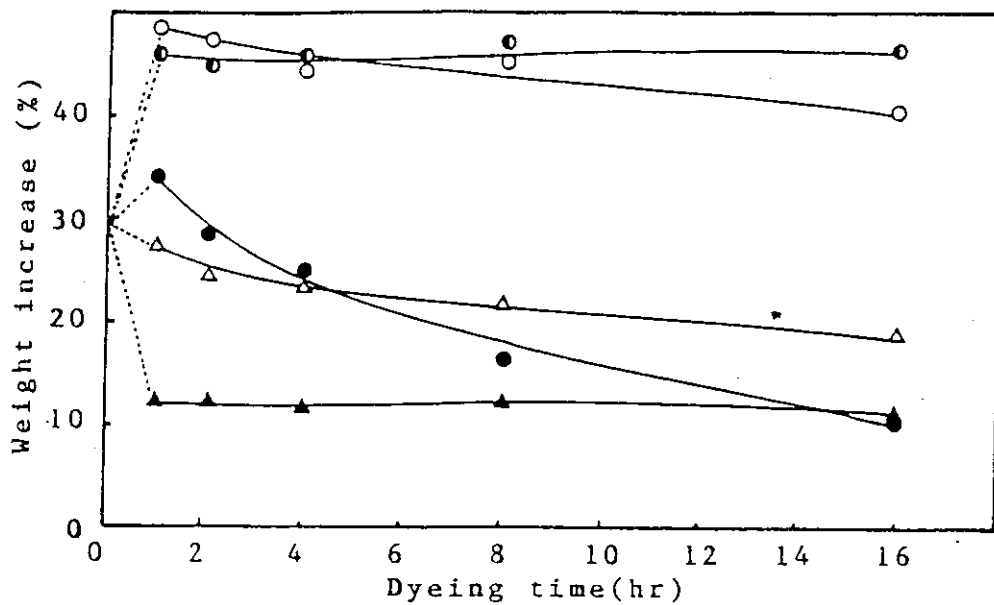


Fig. 5. The effect of dyeing time on weight increase.

△:Blue 4 ▲:Blue 19 ●:Red 6 ○:Blue 71 ◉:Blue 21

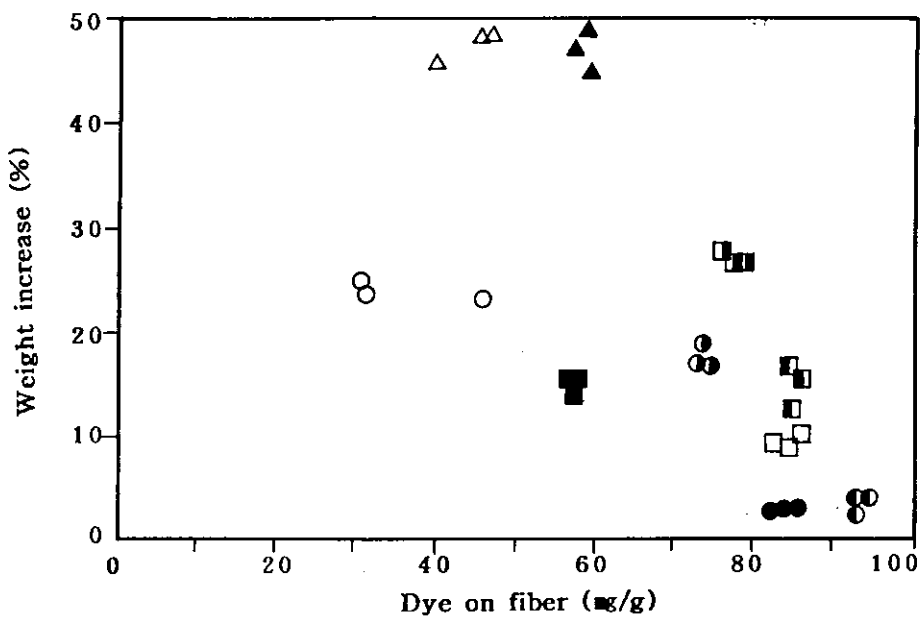


Fig. 6. Distribution of weight increase and dye fixation at 50°C

○:Yellow 179 ◉:Red 2 ◑:Black 5 ●:Blue 13 □:Blue 49
 ■:Blue 4 ▨:Blue 19 ■:Red 6 △:Blue 71 ▲:Blue 21

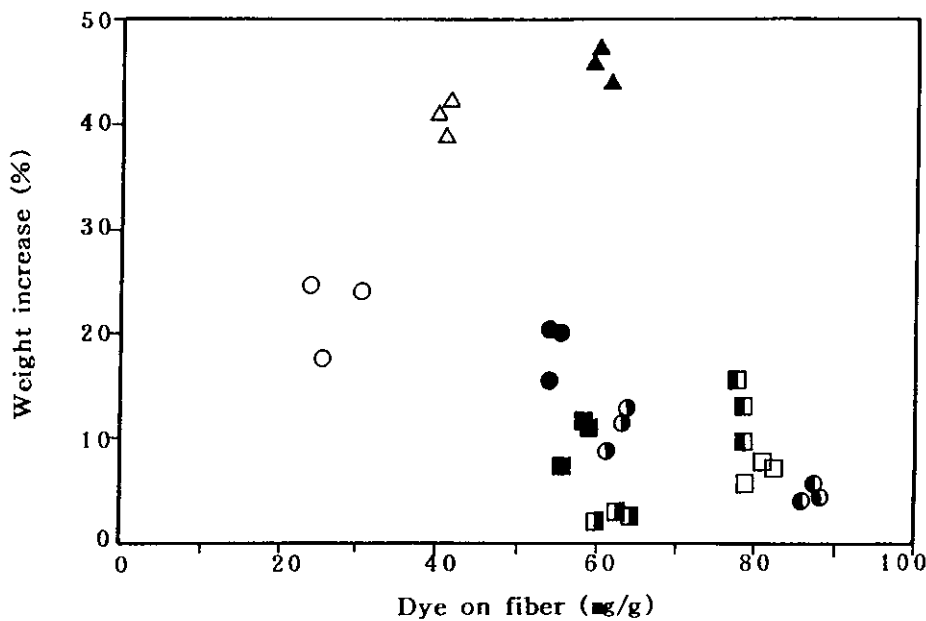


Fig. 7. Distribution of weight increase and dye fixation at 70°C

○ Yellow 179 ● Red 2 ○ Black 5 ● Blue 13 □ Blue 49
 □ Blue 4 □ Blue 19 ■ Red 6 △ Blue 71 ▲ Blue 21

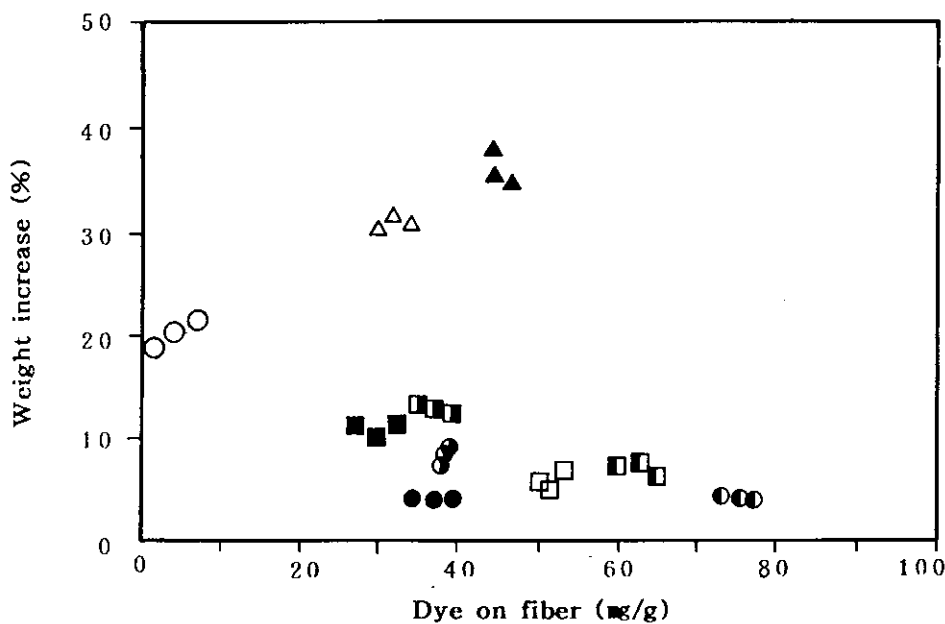


Fig. 8. Distribution of weight increase and dye fixation at 90°C

○ Yellow 179 ● Red 2 ○ Black 5 ● Blue 13 □ Blue 49
 □ Blue 4 □ Blue 19 ■ Red 6 △ Blue 71 ▲ Blue 21

(dyeing site)과 相當 部分이 一致하는 것으로 推定되며, 아울러 染料와 monomer의 相互作用이 變數로 作用한 것으로 생각된다.

Fig. 4 및 5는 染色時間과 反應染色 絹纖維의 增量率의 관계를 나타낸 그림으로, 無處理 絹 fibroin의 增量率 29.5%에 비하여 대체로 染色時間이 경과할수록 즉, 染着量이 증가할수록 增量率은 감소하는 것으로 나타났으나, Blue 71 및 Blue 21 染色 絹 fibroin은 染着量의 多少에 관계없이 현저하게 높은 增量率을 나타냈으며, Blue 19의 경우 染着量이 증가하더라도 增量率은 12% 内外로 一定하게 나타났고, Yellow 179 染色 絹 fibroin의 增量率은 染着量의 多少에 관계없이 無處理 絹 fibroin과 비슷한 것으로 나타났다.

Fig. 6, 7 및 8은 同一 濃度의 染浴으로 50°C, 70°C, 90°C에서 平衡染色한 후 graft 重合하였을 때, 固着染料量과 增量率의 관계를 散布度

로 나타낸 것으로서, 染色 速度에 따른 增量率과 마찬가지로 Blue 71 및 Blue 21 染色 絹 fibroin의 경우를 除外하고는 모두 無處理 絹 fibroin에 비하여 增量率이 낮은 것으로 나타났다. 그러나, 50°C에 비하여 固着染料量이 상대적으로 적은 70 및 90°C의 경우 增量率이 더 낮은 것으로 나타났으며, 이러한 傾向은 染色 速度에 있어서 染着量의 증가에 따라 增量率이 감소한 傾向과는 일치하지 않는 것으로서, 이는 高溫의 長時間 接觸에 따른 絹 fibroin의 内部 微細構造의 變化, Glauber's salt 및 未固着染料 抽出劑 等으로 인한 것으로 생각되며, 今后 계속될 研究에서 밝혀져야 할 것으로 생각된다.

Table 2는 graft 重合에 따른 反應染色 絹纖維의 色相 變化를 나타낸 것으로, 어느 染料에서나 약간의 染色 變化가 일어나는 것으로 나타났다.

Table 2-1. Color change according to the graft polymerization.

Dyestuff	Dyeing	Before grafting	After grafting
Yellow 179	Dyeing rate	7.5Y 8.8/6.9	6.9Y 8.6/6.4
		6.9Y 8.8/7.9	7.4Y 8.6/7.7
		6.6Y 8.7/8.7	6.3Y 8.6/8.6
		6.3Y 8.7/9.7	6.1Y 8.6/9.5
		6.2Y 8.6/10/0	6.0Y 8.5/9.8
	Equilibrium fixation	5.Y 8.6/11.9	5.2Y 8.3/11.7
		5.9Y 8.6/22.0	5.4Y 8.5/10.9
		6.6Y 8.7/7.9	6.3Y 8.6/7.7
Red 2	Dyeing rate	8.0RP 4.8/14.5	8.5RP 4.7/14.5
		9.1RP 4.5/14.9	8.8RP 4.6/14.8
		0.1R 4.3/14.9	9.7RP 4.2/14.8
		1.3R 4.1/14.9	0.1R 4.2/15.1
		1.8R 3.9/14.9	0.9R 4.0/15.2
	Equilibrium fixation	3.1R 3.7/14.6	2.0R 3.9/14.8
		2.6R 3.8/14.1	1.5R 3.9/14.7
		0.1R 4.1/13.8	0.1R 4.1/14.8
Black B	Dyeing rate	7.5PB 1.6/1.2	7.3PB 1.6/1.4
		7.6PB 1.5/1.3	7.5PB 1.6/1.4
		7.6PB 1.5/1.3	7.5PB 1.5/1.4
		7.7PB 1.5/1.3	7.5PB 1.6/1.4
		7.7PB 1.5/1.3	7.5PB 1.5/1.4
	Equilibrium fixation	9.7PB 1.5/1.1	9.1PB 1.5/1.1
		8.8PB 1.6/1.0	8.5PB 1.6/1.1
		3.6P 1.7/1.2	2.8P 1.7/1.1

Table 2-2. Color change according to the graft polymerization.

Dyestuff	Dyeing	Before grafting	After grafting
Bkue 13	Dyeing rate	6.9PB 4.1/7.9	7.2PB 5.6/1.7
		7.3PB 3.4/8.4	7.2PB 4.8/3.5
		7.4PB 3.0/8.4	7.3PB 3.6/5.2
		7.6PB 2.7/8.2	7.5PB 2.8/6.4
		7.7PB 2.4/8.0	7.7PB 2.7/6.6
	Equilibrium fixation	7.9PB 2.3/10.2	7.7PB 2.2/1.3
		7.1PB 3.2/7.9	7.1PB 3.1/1.3
		6.2PB 3.3/7.4	5.5PB 4.2/1.3
Blue 49	Dyeing rate	7.5PB 3.7/12.7	6.5PB 3.7/9.2
		7.9PB 3.2/13.2	7.4PB 3.2/11.1
		8.3PB 2.7/13.8	8.0PB 2.7/12.1
		8.5PB 2.7/13.8	8.3PB 2.5/13.0
		8.5PB 2.5/13.5	8.4PB 2.5/12.7
	Equilibrium fixation	8.5PB 2.6/13.6	8.4PB 2.4/12.9
		8.4PB 2.7/13.5	8.2PB 2.3/12.6
		7.8PB 3.0/111.9	7.6PB 2.9/10.7
Blue 4	Dyeing rate	5.7PB 3.9/10.5	3.7PB 3.6/6.6
		6.0PB 3.6/10.7	3.8PB 3.5/6.3
		6.4PB 3.3/10.8	4.7PB 3.2/7.4
		6.5PB 3.1/10.8	5.1PB 3.2/8.2
		6.6PB 3.2/10.7	5.9PB 3.2/9.6
	Equilibrium fixation	7.8PB 2.5/10.5	5.7PB 3.9/10.5
		6.5PB 3.1/7.9	5.7PB 3.9/10.5
		5.5PB 3.5/8.9	5.7PB 3.9/10.5
Blue 19	Dyeing rate	8.0PB 2.6/11.8	6.9PB 2.2/7.4
		8.3PB 2.4/11.8	7.2PB 2.2/9.7
		8.3PB 2.3/11.6	7.5PB 2.2/9.4
		8.3PB 2.4/11.6	7.5PB 2.3/8.7
		8.3PB 2.6/11.7	7.8PB 2.5/6.7
	Equilibrium fixation	8.2PB 2.4/11.2	7.7PB 2.4/9.6
		7.9PB 2.6/11.0	7.4PB 2.7/8.6
		7.8PB 2.6/9.7	6.6PB 2.6/7.4

Table 2-3. Color change according to the graft polymerization.

Dyestuff	Dyeing	Before grafting	After grafting
Red 6	Dyeing rate	4.8RP 4.1/11.2	5.0RP 4.6/10.6
		5.3RP 3.7/11.1	5.4RP 4.0/11.0
		6.0RP 3.3/10.7	5.8RP 3.6/10.9
		6.3RP 3.3/10.3	6.0RP 3.5/10.9
		6.7RP 3.1/9.8	6.0RP 3.4/10.6
	Equilibrium fixation	7.5RP 2.9/9.3	6.9RP 3.1/10.1
		7.1RP 3.1/9.9	6.5RP 3.3/10.7
		6.0RP 3.6/10.8	6.0RP 3.7/11.0
Blue 71	Dyeing rate	5.2B 5.3/9.3	4.1B 5.5/8.9
		5.8B 5.0/9.4	4.3B 5.1/8.8
		5.9B 4.8/9.3	4.4B 5.3/8.9
		6.2B 4.6/9.3	4.7B 4.8/8.7
		6.5B 4.5/9.4	4.8B 4.7/8.8
	Equilibrium fixation	6.8B 4.4/9.4	5.3B 4.4/8.9
		6.5B 4.4/9.3	5.0B 4.7/8.9
		5.9B 4.5/9.1	5.0B 4.5/8.8
Blue 21	Dyeing rate	5.5B 5.2/9.0	3.8B 5.5/8.2
		5.5B 5.2/9.1	4.1B 5.5/8.2
		5.7B 5.0/9.1	4.1B 5.2/8.4
		5.7B 4.8/9.1	4.2B 5.1/8.4
		5.9B 4.8/9.2	4.3B 5.1/8.5
	Equilibrium fixation	6.2B 4.9/9.1	4.7B 4.8/8.8
		5.7B 5.0/9.1	4.6B 5.1/8.6
		5.7B 5.0/9.1	4.1B 5.1/8.4

摘要

反應染色 絹 fibroin의 graft 重合 舉動을 알아보기 위하여, C. I. Reactive Yellow 179, Red 2, Black 5, Blue 13, Blue 49, Blue 4, Blue 19, Red 6, Blue 71, Blue 21로 絹 fibroin의 染着量이 각각 다르게 染色하고, methacrylamide graft 重合하였으며 그 結論은 다음과 같다.

1. 染料의 固着速度는 吸着速度와 一致하는

傾向이었으며, 固着速度는 Yellow 179 및 Blue 71이 가장 낮았고, Black 5, Blue 49, Blue 4, Blue 19, Blue 21은 비교적 빠른 것으로 나타났다.

2. 染色時間이 經過할수록 卽, 染着量이 增加할수록 增量率은 減少하는 것으로 나타났으나, Blue 71 및 Blue 21 染色 絹 fibroin의 增量率은 染着量의 多少에 관계없이 현저하게 높았으며, Blue 19의 경우 增量率은 12% 内外로

一定하게 나타났고, Yellow 179 染色 絹 fibroin의 増量率은 無處理 絹 fibroin과 비슷한 것으로 나타났다.

3. 平衡染色 絹 fibroin의 增量率은 Blue 71 및 Blue 21 染色 絹 fibroin의 경우를 제외하고는 모두 無處理 絹 fibroin에 비하여 낮은 것으로 나타났으며, 染色溫度가 上昇할수록 增量率은 低下하는 것으로 나타났다.

4. Graft 重合 과정에서 色相이 多少 變化하는 것으로 나타났다.

參 考 文 獻

1. 鹽崎英樹, 1989, 纖維加工, Vol. 41, 201-209.
2. 加藤弘, 1987, 絹纖維の加工技術とその應用, (株)纖維研究社, 226-235.
3. 鹽崎英樹, 1985, 日蠶雜, 54, 91-100.
4. Norman G. Gaylord, 1984, Encyclopedia of polymer science and technology, 2nd ed., John Wiley & Sons, Inc., Vol. 1, 234-299.
5. Norman G. Gaylord, 1984, Encyclopedia of polymer science and technology, 2nd ed., John Wiley & Sons, Inc., Vol. 9, 815-841.
6. 塚田益裕, 石黒善夫, 1984, 日蠶雜, 53, 121-126.
7. 石黒善夫, 1981, 日蠶雜, 50, 490-494.
8. 石黒善夫, 小野三枝子, 1980, 日蠶雜, 49, 414-421.
9. 塚田益裕, 小松計一, 石黒善夫, 1984, 日蠶雜, 53, 463-464.
10. 生稻雄成, 船野昭子, 1970, 日蠶關東講要, 21, 57.
11. 長峯秋夫, 八田義一, 1972, 京染と精練染色, 23, 143-151.
12. 今丸績, 渡邊忠雄, 阿久根了, 1972, 日蠶雜, 41, 197-201.
13. 石黒善夫, 1978, 日蠶雜, 47, 239-240.
14. 石黒善夫, 1982, 日蠶雜, 51, 126-131.
15. 李龍雨, M. R. Massafra and G. M. Colona, 1987, 韓蠶學誌, 29, 64-68.
16. 今丸績, 渡邊忠雄, 阿久根了, 1970, 日蠶雜, 39, 248-252.
17. 檜本陸, 鈴木直雄, 1963, 蠶絲研究, 47, 104-109.
18. 辛奉燮, 南重熙, 1992, 韓蠶學誌, 34, 32-40.
19. P. Rys and H. Zollinger, 1975, The Theory of Coloration of Textiles, Dyers Company Publications Trust, 326-358.
20. 皆川基, 1981, 絹の科學, 關西衣生活研究會, 137-157.
21. 加藤弘, 1987, 絹纖維の加工技術とその應用, (株)纖維研究社, 136-138.
22. 朝倉書店, 1986, 染色事典, 東京, 283-285.
23. 金公朱, 李延文, 1980, 韓國纖維工學會誌, 17, 22-37.
24. E. R. Trottman, 1984, Dyeing and Chemical Technology of Textile Fibres, 6th ed., A Wiley-Interscience Publications, New York, 447-469.
25. 吳炳周, 卓泰文, 1985, 韓蠶學誌, 27, 40-46.
26. 清水管昭, 1975, 日纖學誌, 31, T180-T185.
27. 清水管昭, 1976, 日蠶雜, 45, 452-456.
28. 商工部, 1991, 工業基盤技術開發事業 2次年度 報告書, 絹織物의 品質向上을 為한 技術開發.
29. Color index.